

合成覆工板の耐力について

大阪市立大学工学部 正員 西堀忠信
正員 ○山本修章

まえがき：地下鉄工事等で使用されている覆工板は 鋼製、ダクタイル鋳鉄製、コンクリート製等の種類がある。これらの中でもコンクリート製の覆工板は 駆音および摩擦抵抗性などの点で 前者に比べて有利であるので 年々増加する傾向にある。本実験は 鋼板とコンクリートとのいわゆるSC構造の合成覆工板のうち3種類のものについて 実用化の可能性を確かめるため行なった静的荷重による実験結果に関するものである。荷重は自動車による輪荷重のうち 覆工板として不利な2種類の方法で行なった。

実験概要：実験を行なった合成覆工板は図-2K 図-1 示す断面を持つもの3種類6体である。実験は図-1 に示す中央載荷と偏心載荷の2種類で行なった。荷重は森試験機製作所製の疲労試験用50t ジャッキ（50t 以上の荷重では分歧装置を介して2台のジャッキを使用）および50t 用ダイナモーターを用いて載荷した。道路橋示方書に示されている載荷の状態に近づけるため48mm厚のネオプレン・ネオプラスのサンドウッチプレートを用い 自動車の接地面に相当する $500 \times 200\text{mm}$ の大きさとし 50mmの鋼板を介してジャッキにより載荷した。なお実験時の支間は195cmとした。中央載荷を行なった合成覆工板（A-1, B-1, C-1）は覆工板に対して直角に載荷される場合を想定して 図-1 に示す位置に載荷した。偏心載荷の覆工板（A-2, B-2, C-2）のうち A型は覆工板に平行に載荷した場合、B, C型は直角に載荷した場合で 車輪は側面から 20cm の範囲にあるような載荷状態とした。荷重は道路橋示方書に規定されているTL-20を想定して表一、輪荷重8.0t に衝撃による荷重の割増40%を行なって荷重11.2t を基準として 図-1 に示すような荷重段階ごとに測定を行なった。覆工板の力学的挙動を調べるためにダイヤルゲージは13個用い X方向とY方向についてそれぞれ約4%の支点上で測定した。なお本実験で使ったコンクリートは $\sigma_{28} = 297 \text{ kg/cm}^2$, $E_c = 0.33 \times 10^6 \text{ kg/cm}^2$ であった。

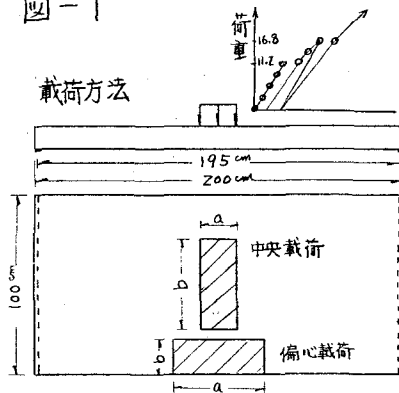
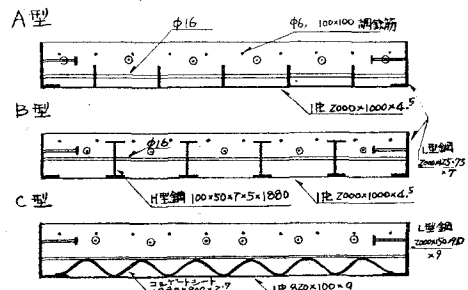


図-2 供試体断面図



供試体	載荷方法	載荷面積 $a \times b_{cm}$	破壊荷重		備考 中央載荷と偏心載荷の割増率比
			実験値	計算値	
A-1	中央	20×50	48.9	45.1	1.08
B-1	〃	〃	52.3	52.4	1.00
C-1	〃	〃	41.0	36.2	1.13
A-2	偏心	20×20	34.5	45.1	0.76
B-2	〃	50×20	44.7	57.0	0.78
C-2	〃	〃	38.1	39.4	0.97
					0.85

実験結果および考察：図-2に示す供試体の破壊荷重を表-1に示す。破壊は中央載荷では鋼板が降伏した後コニクリート上面に発生した扇形のひびわが自由端へ到達した後コニクリートのせん断破壊で破壊した。破壊荷重の計算値は全断面を有効としあげた曲げ理論により求められ値であり、中央載荷ではかなり一致している。偏心載荷の場合、鉄筋コニクリート示方書により、スラブの有効幅を85cmとすると偏心載荷の場合もほぼ一致するものと思われる。図-3は中央断面のたわみの分布図を示したもので、図中の実線は計算値である。計算は解析的近似解法（横道：コニクリート橋）によった。図-3において測定値はほぼ直線をなしており、析としての性状を表めているものと思われる。図-4は偏心載荷のたわみ分布図で、22.4tでは測定値の方がやや大きくなり、コニクリート上面にりじわが発生してから12t前後であることから載荷端附近の局部破壊が進行しているものと思われる。なお、偏心載荷においても鋼板側面の鋼板とコニクリートとのはなれは破壊に至るまでほとんど生じなく鋼板側面に着氷してジベルが有効に作用しているものと思われる。図-5は中央断面の橋脚直角方向のひずみ分布図で、全断面がほぼ有効的作用している。図-6はH型鋼を埋め込んだ鋼板のひずみ分布図で、載荷面直下は少し小されているが、ほぼ計算値と一致している。中央部より右側断面の方のひずみが、左側の方より小さな値を示してしまっているのは、H型鋼と内鉄筋ヒガ密接されており、左側は奥密接であるので剛性のSが、Sが現われたものと思われる。

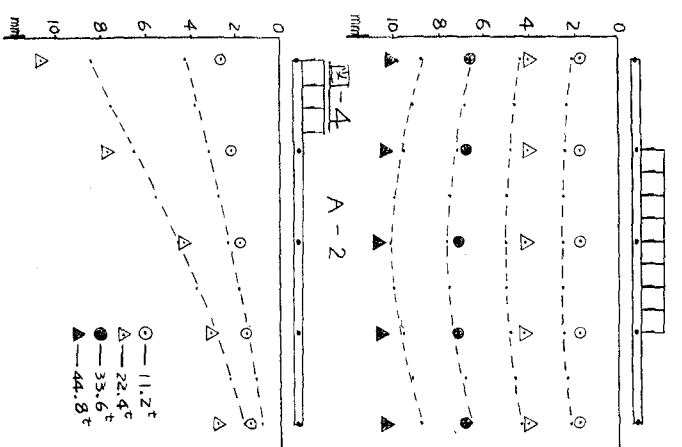
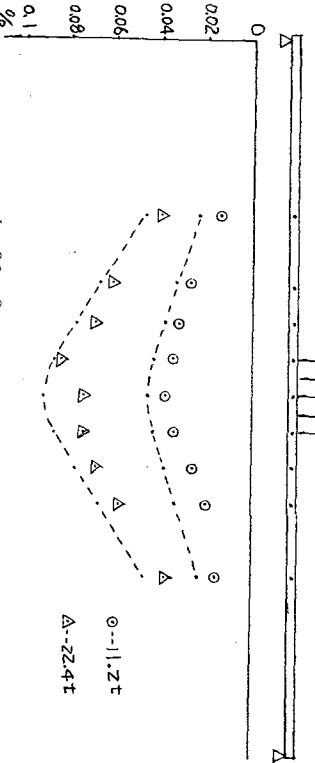


図-3 变形分布図 A-1

とすると偏心載荷の場合もほぼ一致するものと思われる。図-3は中央断面のたわみの分布図を示すもので、図中の実線は計算値である。計算は解析的近似解法（横道：コニクリート橋）によった。図-3において測定値はほぼ直線をなしており、析としての性状を表めているものと思われる。図-4は偏心載荷のたわみ分布図で、22.4tでは測定値の方がやや大きくなり、コニクリート上面にりじわが発生してから12t前後であることから載荷端附近の局部破壊が進行しているものと思われる。なお、偏心載荷においても鋼板側面の鋼板とコニクリートとのはなれは破壊に至るまでほとんど生じなく鋼板側面に着氷してジベルが有効に作用しているものと思われる。図-5は中央断面の橋脚直角方向のひずみ分布図で、全断面がほぼ有効的作用している。図-6はH型鋼を埋め込んだ鋼板のひずみ分布図で、載荷面直下は少し小されているが、ほぼ計算値と一致している。中央部より右側断面の方のひずみが、左側の方より小さな値を示してしまっているのは、H型鋼と内鉄筋ヒガ密接されてしまっている。左側は奥密接であるので剛性のSがありが現われたものと思われる。

であるので剛性のSがありが現われたものと思われる。左側は奥密接であり、左側は奥密接であるので剛性のSがありが現われたものと思われる。

図-6 ひずみ分布図 B-1

であり、左側は奥密接であるので剛性のS

がありが現われたものと思われる。